二光子吸収過程パルスレーザを用いた 重イオン誘起ノイズパルスの入射位置依存性の再現

Simulation of ion-strike position dependence of heavy ion-induced noise pulses with two photon absorption pulsed-laser

東大院工1,宇宙研2

^O出口 拓実 ^{1,2},小林 大輔 ²,廣瀬 和之 ^{1,2}

The Univ. of Tokyo¹, ISAS/JAXA²,

°Takumi Deguchi^{1,2}, Daisuke Kobayashi², Kazuyuki Hirose^{1,2}

E-mail: deguchi.takumi@ac.jaxa.jp, hirose@isas.jaxa.jp

[緒言] 宇宙環境では、重イオンなどの高エネ ルギー荷電粒子が半導体デバイスに入射する と SET (Single Event Transient) と呼ばれる過度 電流ノイズパルスが発生する. これはソフトエ ラーの原因となるため、SET 波形の地上での予 測が重要である. 加速器施設では使用できるイ オン種やエネルギーが必ずしも自由には選べ ない. そのため、パルスレーザを用いた予測が 注目されている. とりわけ、侵入長が長いため に,デバイス表層配線による反射の課題を裏面 照射によって回避できる二光子吸収過程が注 目されている. これまで我々はガウシアンビー ムを用いて二光子吸収過程を起こし,重イオン 誘起 SET 波形を再現したが[1], 既存の重イオ ン誘起 SET 波形に合わせ込むようにパルスレ ーザのエネルギー (PE) を調節したため, 波形 を持たない場合に PE をどう調節するか、すな わち予測する方法が課題として残された. その 後,我々はベッセルビーム[2]を用いて二光子 吸収過程を起こし、パルスレーザによる SET 波 形と重イオン誘起 SET の時間積分量(収集電 荷量) Q_{col} が一致するようにPEを調節すれば、 SET 波形を再現できることを見いだし、 Q_{col} を 頼りに予測できる可能性を示した[3]. (このと き,重イオン誘起 SET の Q_{col} が重イオンの生 成する電荷量と一致している場合には、それを シミュレーションによって計算可能であるた めに予測ができるようになる.) そこで我々は、 この可能性を広く検討するために様々な場合 について調査している.本稿では入射位置を変 化させたときについて報告する.

[実験] 文献[3]と同様に、フェムト秒パルスレーザ(CrF、波長 1260 nm、パルス幅 130 fs)と、アキシコンレンズ、チューブレンズ、対物レンズを用いてベッセルビームを生成して試料に照射した。 試料は文献[3,4]と同一の Si PIN Photodiode (S5973、浜松フォトニクス)であり、試料中にビームが二光子吸収過程で生成する初期電荷分布は、深さ方向で約 800 μ m (半値幅)、動径方向で約 2μ m (半値幅) と見積もっ

た. 測定には 1 GHz オシロスコープ(MSO 4104, Textronix) を用いた. 測定の帯域はこれが決め ている.

[結果と考察] PE を 3.9 nJ で一定にして, パル スレーザがデバイスの中央と端に入射したと きの SET 波形 (一例) を Fig.1(a)に示す. ここ で PE は中央入射時に 15MeV 酸素イオン誘起 SET 波形と一致するように決めた. Fig.1 (a)の 通り,中央入射に比べて端入射ではピークが高 く幅が伸びて Q_{col} が 32 %増加した. 一方, 15MeV 酸素イオン誘起 SET では Q_{col} の増加は 認められない[4]. この食い違いは興味深く, そ れぞれの飛程と, 収集長の位置依存性で説明で きそうである. 次に、中央と端で Q_{col} が一致す るように PE を調節して SET 波形を測定した. 結果を Fig.1 (b) に示す. 端入射における持続 時間(0.01 mAより大きな電流が流れる時間, pulse width) は、中央入射と比べて長くなった. 15MeV 酸素イオン誘起 SET 波形でも同様の傾 向があり[4], Q_{col} による再現・予測可能性がう かがえる. 当日は、定量的な議論をしたい.

[謝辞]本研究は, JSPS 科研費 JP20H02217 の助成を受けた.

[参考文献]

- [1] H. Itsuji, et al., J. Appl. Phys., 56, 2017.
- [2] J. Hales, et al., IEEE TNS, 67, 2019.
- [3] T. Karaki, *et al.*, JSAP Spring Meeting, **67**, 2021.
- [4] S. Onoda, et al., NIMPR Section B, 231, 2005.

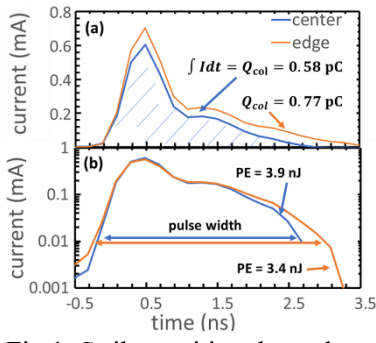


Fig.1: Strike position dependence of Bessel beaminduced SET waveforms where PE constant (a) and PE adjusted (b).